

(株) 沖縄技術コンサルタント 小波藏 政良

○吉沢 光三

新垣 康徳

1. まえがき

島尻層泥岩土地帯にみられる地すべりは小規模なもののが多く、それらはほとんどが崩壊的性質を有し、基盤岩の崩落や浸食によって形成された崩積土層や強風化部分において多く発生している。今回起きた地すべり性崩壊は幅約5m、長25m程度の非常に小規模のものであるが、ボーリング調査の結果を推定した(図-2)すべり面と、実際のすべり面が異なっているので地質的背景等の考察を行ひ、それぞれ(図-1)の箇所で得られた試料について試験を行はって検討したので報告する。

2. 地すべり性崩壊の概況

本地すべり性崩壊地は、標高150m程度の丘陵地で北東、南東及び南西側にゆるやかに傾斜面を有してところである。民家の庭先に小さなクラク等が生じて止め早急に対策を講じるとともに詳細調査が行はれれた。

3. 地質、土質

地質は沖縄本島中南部に広く分布する第三紀の島尻層泥岩に属する。一般に島尻層群には小断層がみられ正断層が圧倒的に多い。本地すべり性崩壊斜面にもみられ、その面は不連続面とし開裂性に富む複雑である。また面には酸化鉄等によるいわゆるさびの付いたものが多々、ところによくては錆肌(slickensides)も発達している。

太爾は、軟岩と土の境界領域に在るため地山状態では非常に強く支持角とは、せり土や掘削によつて様相が一変する。大気によらずヒビ風化が速く、乾燥のくり返しによつて容易に崩壊し、細粒化が進み浸水状態では吸水軟化し強度低下が著しい。

4. 結果及び安定解析

ボーリング調査を行は、其結果 図-2に示されるように、ボーリングで得られた推定すべり面と実際のすべり面が異なっていることが判明した。

実際のすべり面は泥岩中にあり、前述したように不連続面とし開裂性に富み、面には酸化鉄等によるさびがみられモザイク状にはつていた。このようにとから、地すべり性崩壊は泥岩自体が崩壊しやすく、とくに風化しやすくて原因があるものと思われる。また、泥岩には断層、小断層、節理面、層理面及び裂隙が内在していることが地すべり性崩壊の素因といつていいようである。

試料採取を行は、物理試験及び三軸試験を行は、た。

試料採取は、基盤(図-1)ある泥岩土と風化土(ス-

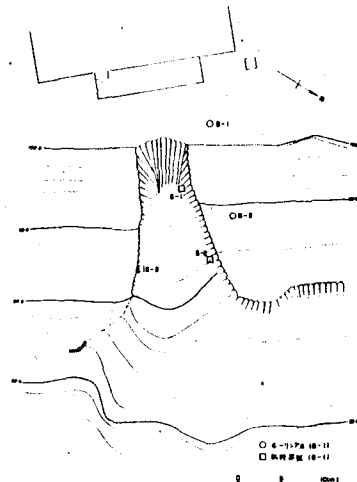


図-1 地形平面図



図-2 断面図

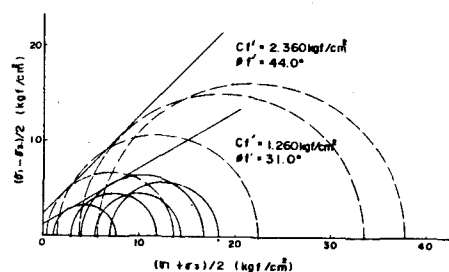


図-3 モールの応力円

2. 3) (地すべりを起きた土、つまり基盤岩と風化帯の境界面上部)である。これらの試料について三軸圧縮試験結果を基にモールの応力円を描いたものが図-3(試験No.1), 開きき水圧割定、有効応力解析である。これより通常求められるようにしてピーク粘着力(C'_f)及びピークせん断抵抗角(θ'_f)を求めると、泥岩土 $C'_f = 2.36 \text{ kN/cm}^2$, $\theta'_f = 44.0^\circ$ 、風化土 $C'_f = 1.26 \text{ kN/cm}^2$, $\theta'_f = 31.0^\circ$ を得る。表-1にそれらの物理特性を示す。

地すべり安定解析においてすべり面に働く平均せん断強度定数を決めるには、政策上や新たに計画断面の設計等で最も重要である。しかし現状ではこれらの定数の決定法がはっきりするために逆算より求められる $C'-\theta'$ 関係において一方の定数を仮定して他方を求めており、それも慣例法に基づいている。この方法に基づいて $C'-\theta'$ 関係を示したのが図-4である。泥岩の場合は過圧密粘土のルーチンテストに基づく安定解析では地すべり発生を十分に説明できない。つまり表-2に示されるように、ピーク強度定数 C'_f を用いた場合過大な安全率が得られ、残留強度定数 C_{dr} , θ_{dr} を用いた場合 $F_s < 1$ となり、実際とは矛盾するため、平均せん断強度ではピーク強度と残留強度の間に位置すると考えるのが自然である。

そこで Skempton の残留係数 R を $C'-\theta'$ 関係式とモール・クーロンの破壊規準に導入することによて、 $C'-\theta'$ の決定が可能になる。

すなわち元は次式のように表わされる。

$$C' = \{R \cdot C_{dr} + (1-R)C_{df}\} + \bar{\alpha}' \{K \tan \theta_{dr} + (1-K) \tan \theta_{df}\} \quad \dots \dots \dots \quad (1)$$

ここで $\bar{\alpha}'$ はそれぞれ次式で算定される。

$$C' = R C_{dr} + (1-R) C_{df} \quad \dots \dots \dots \quad (2) \quad \tan \theta' = K \tan \theta_{dr} + (1-K) \tan \theta_{df} \quad \dots \dots \dots \quad (3)$$

ここで、ピーク強度定数(三軸圧縮試験で得られた結果)を用い、残留強度定数は $C_{dr} = 0$, $\theta_{dr} = 10.4^\circ$ を用いる。

よって、関係式 $C' = -3.960 \tan \theta' + 1.783$ から $\theta' = 3.960 \text{ t}/\text{m}^2$, $\bar{\alpha}' = 1.783 \text{ t}/\text{m}^2$ であるので、せん断強度定数とモール・クーロン式から $C_{df} = 27.425 \text{ t}/\text{m}^2$, $\theta_{df} = 7.480 \text{ t}/\text{m}^2$ となり、 $R = 0.961$ となる。これらの値を(2), (3)式に代入すれば $\theta' = 0.920 \text{ t}/\text{m}^2$, $\tan \theta' = 0.220$ を得る。以下同様にして計算を行はずつとが図-4の印である。

5. あらがき

島尻層泥岩で起きた地すべりは、比較的小規模でそれらほとんどが地質的背景に大きく影響しているとともに、泥岩の残留強度にも影響している。図-4におけるように、泥岩地帯では実際のすべりと調査結果に基づく推定すべり面には大きくなるのが生じ、それらの値も要するに実際に起きて始めてわかるケースがある。地すべり解析を行なうにあたり、強度低下はもちろんであるが、泥岩の特性や生成過程及び風化機構、地質構造等を十分に調査し解析しなければならないだろう。

参考文献

- 1)江原哲人: 沖縄本島の島尻層群中にみられる小断層の性状と新旧関係、琉球列島の地質的研究(1978)
- 2)宜保清一・森田勲・吉沢光三: 豊見城市内地すべり性崩壊の発生要因と对策に関する考察 第16回大蔵工学
- 3)宜保清一・小波盛政良・吉沢光三: 那覇市豊見城市内地すべり性崩壊の発生要因と平均せん断強度定数の決定

地すべり(1981)

	S-1	S-2	S-3	北-東
Wn	21.5	35.6	40.0	S-1風化土
G ₁	2.765	2.770	2.768	
V ₁	18.67M	2.025	1.910	S-2風化土
Clay fraction	60.4	54.2	56.3	S-3
W	18.2	54.1	50.2	風化土
Wd	12.0	23.5	22.8	風化土
I _d	7.94	30.9	37.4	風化土

表-1 物理特性

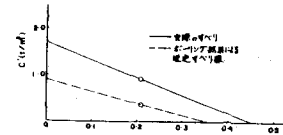


図-4 C'-θ' 図

表-2 安全率

強度定数	安全率
$C'_f = 23.60 \text{ t}/\text{m}^2$	$F_s = 15.38$
$\theta'_f = 44.0^\circ$	$F_s = 8.39$
$C_{dr} = 0$	$F_s = 0.42$
$\theta_{dr} = 10.7^\circ$	
$\bar{\alpha}' = 0.920$	$F_s = 1.00$
$\theta' = 12.4^\circ$	